

This airborne geophysical survey and the production of this map were funded by the Saskatchewan Ministry of Energy and Resources and the GEM-Energie by the Program of Earth Sciences Sector, Natural Resources Canada.

Ce levé géophysique aéroporté et la production de cette carte ont été financés par le ministère de l'Énergie et des Ressources de la Saskatchewan et le programme GEM-Energie du Secteur des sciences de la Terre, Ressources naturelles Canada.

GSC OPEN FILE 6778 / DOSSIER PUBLIC 6778 DE LA CGC
SMER OPEN FILE 2011-13

GEOPHYSICAL SERIES / SÉRIE DES CARTES GÉOPHYSIQUES

AIRBORNE GEOPHYSICAL SURVEY OF THE NORTHWESTERN ATHABASCA BASIN, SASKATCHEWAN
LEVÉ GÉOPHYSIQUE AÉROPORTÉ DE LA PARTIE NORD-OUEST DU BASSIN ATHABASCA, SASKATCHEWAN

NTS 74 J/05 Snare Lake / SNRC 74 J/05 Snare Lake

NATURAL AIR ABSORBED DOSE RATE TAUX D'ABSORPTION NATUREL DES RAYONS GAMMA DANS L'AIR

Authors: Fortin, R., Coyle, M., Buckle, J.,
Hefford, S.W. and Delaney, G.

Data acquisition, compilation and interpretation by Goldak Airborne Surveys, Saskatoon, Saskatchewan. Contract and project management by the Geological Survey of Canada, Ottawa, Ontario.

Scale 1:50 000 - Échelle 1/50 000

mètres 1000 0 1000 2000 3000 mètres

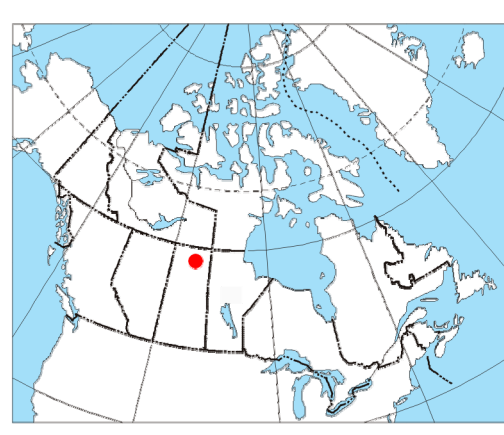
IAD69 / UTM zone 13N

Universal Transverse Mercator Projection
North America Datum 1983
Other Majority the Queen's Right in Canada 2011

Digital topographic data provided by Geomatics Canada, Natural Resources Canada
Données topographiques numériques de Geomatics Canada, Ressources naturelles Canada

Auteurs : Fortin, R., Coyle, M., Buckle, J.,
Hefford, S.W. et Delaney, G.

L'acquisition, la compilation des données ainsi que la production des cartes fut effectuée par Goldak Airborne Surveys, Saskatoon, Saskatchewan. La gestion et la supervision du projet furent effectuées par la Commission géologique du Canada, Ottawa, Ontario.



NORTHWESTERN ATHABASCA BASIN GEOPHYSICAL SURVEY, SASKATCHEWAN

Introduction

A quantitative gamma-ray spectrometric and aeromagnetic airborne geophysical survey of the Northwestern Athabasca Basin, Saskatchewan, was completed by Goldak Airborne Surveys. The survey was flown from June 22 to September 21, 2010, in Piper PA-31 Navajo (C-GJBA, C-GLDX) and one Cesna Caravan (C-GJBB) aircraft. The nominal traverse control line spacings were, respectively, 400 m and 2400 m, and the aircraft flew at a nominal terrain clearance of 125 m at speeds between 200 and 270 km/h. Traverse lines were oriented 135° with orthographic controllers. The flight path was recovered following post-flight differential corrections to a Global Positioning System.

Gamma-ray Spectra Data

The airborne gamma-ray measurements were made with a Radiation Solutions RS-500 gamma-ray spectrometer using fourteen 102x102x400-mm NaI (Tl) crystals. The main detector array consisted of twelve crystals (total volume 50.4 litres), shielded by the main array, were used to detect variations in background radiation caused by atmospheric radon. The system constantly monitored the natural thorium peak for each crystal, and using a Gaussian least squares algorithm adjusted the gain for each crystal.

Potassium was measured directly from the 1460 keV gamma-ray photons emitted by K^+ , whereas uranium and thorium were measured indirectly from gamma-ray photons emitted by daughter products (^{40}K for uranium and ^{222}Rn for thorium). Although these daughters are far down their respective decay chains, they are assumed to be in equilibrium with their parents; thus gamma-ray spectrometric measurements of uranium and thorium are referred to as equivalent uranium and equivalent thorium, i.e. eU and eTh . The energy windows used to measure these products were 1460 keV, 1660-1860 keV, and 2410-2810 keV.

Gamma-ray spectra were recorded at one-second intervals. Data processing followed standard procedures as described in IAEA, 1991 and IAEA, 2003. During processing, the spectra were calibrated, and counts accumulated into the windows defined above. Counts from the radon window were converted to activity in Bq/m^3 . The radon activity was then converted to a dose rate in nanograys per hour. The dose rate was then converted to a dose rate in milliroentgen per hour. Corrections for deviations from the planned terrain clearance and for variation of temperature and pressure were made prior to conversion to ground concentrations of potassium, uranium and thorium in Table 1.

Table 1 Gamma Ray Spectrometer Sensitivities for each aircraft

Corrected data were filtered and interpolated to a 100 m grid interval. The results of an airborne gamma-ray spectrometer survey represent the average surface concentrations that are influenced by varying amounts of outcrop, overburden, vegetation cover, soil moisture and surface water. As a result the measured concentrations are usually lower than the actual bedrock concentrations. The total air absorbed dose in nanograys per hour was produced from measured counts between 400 and 2810 keV.

Magnetic Data

The magnetic field was sampled 10 times per second using a split-beam cesium vapour magnetometer (sensitivity = 0.005 nT) rigidly mounted to the aircraft. Differences in magnetic values at the intersections of control and traverse lines were computer-analyzed to obtain a mutually levitated set of flight-line magnetic data. The leveled values were then interpolated to a 100 m grid. The International Geomagnetic Reference Field (IGRF) defined at the average GPS altitude of 510 m for the year 2010.6 was removed. Removal of the IGRF, representing the magnetic field of the Earth's core, produces a residual component related essentially to magnetism within the Earth's crust.

The first vertical derivative of the magnetic field is the rate of change of the magnetic field in the vertical direction. Computation of the first vertical derivative removes long wavelength features of the magnetic field and significantly improves the resolution of closely spaced and superposed anomalies. A property of first vertical derivative maps is the coincidence of the zero-value contour with vertical contacts of magnetic units at high magnetic latitudes (Hood, 1985).

LEVÉ GÉOPHYSIQUE DE LA PARTIE NORD-OUEST DU BASSIN ATHABASCA, SASKATCHEWAN

Introduction

Un levé géophysique aéroporté combinant l'acquisition de données de spectrométrie gamma et de données magnétiques a été réalisé dans la partie nord-ouest du bassin de l'Athabasca en Saskatchewan par la société Goldak Airborne Surveys. Le levé a été effectué du 24 juin au 21 septembre 2010, à bord de deux avions Piper PA-31 Navajo (C-GJBA, C-GJBB) et d'un Cesna Caravan (C-GLDX). L'écartement nominal des lignes de vol était de 400 m et celles de lignes de contrôle de 2400 m. L'altitude nominale du levé était de 125 m au-dessus du sol. Les déplacements de terrain étaient de 200 km/h et les vitesses de l'air de 240 à 270 km/h. Les corrections pour la densité de l'air et la pression ont été appliquées pour obtenir une résolution de 400 et 2810 keV.

Données de spectrométrie gamma

Les mesures de rayonnement gamma ont été effectuées à l'aide d'un spectromètre gamma Radiation Solutions RS-500 utilisant quatorze cristaux de NaI (Tl) de 102x102x400-mm.

Le système de mesure consistait en douze cristaux (volume total de 50.4 litres). Deux cristaux (volume total de 6.4 litres), protégés par des récipients, étaient utilisés pour déceler les variations de la radioactivité atmosphérique. Le dispositif permettait de faire un suivi constant des pics du thorium pour chacun des cristaux et, par moyen d'un algorithme d'ajustement gaussien par la méthode des moindres carrés, de compenser le gain pour chacun des cristaux.

Données sur les spectromètres

Le spectre de rayonnement gamma a été enregistré à l'aide d'un spectromètre gamma Radiation Solutions RS-500 utilisant quatorze cristaux de NaI (Tl) de 102x102x400-mm. Les captures étaient effectuées à l'aide d'un magnétomètre à vapeur de césumum partagé (sensibilité = 0.005 nT) rigidement fixé à l'avion. Les différences de valeurs entre les intersections de lignes de contrôle et de lignes de vol étaient analysées pour obtenir un ensemble de données sur le champ magnétique muonique et les intersections des lignes de vol. Ces valeurs étaient ensuite interpolées sur une grille à 100 m. Le champ magnétique international (IGRF) défini à l'altitude moyenne de 510 m pour l'année 2010.6 a été soustrait. La soustraction de l'IGRF, qui représente le champ magnétique du noyau terrestre, fournit une composante résiduelle essentiellement nécessaire à la magnétisation de la croûte terrestre.

Tous les facteurs pour le potassium, l'uranium et le thorium sont présentés au Tableau 1. Pour la mise en carte, un filtre a été appliqué aux données compilées, qui ont ensuite été interpolées suivant une grille à 100 m.

Tableau 1. Sensibilités des spectromètres de chacun des avions.

Les résultats d'un levé aéroporté de spectrométrie gamma représentent les concentrations moyennes à la surface. Celles-ci sont influencées par les étendues variables des affleurements, des morts-vierges, de la couverte végétale et de l'eau de surface. Par conséquent, les concentrations mesurées sont habituellement plus faibles que les concentrations réelles dans le substratum rocheux.

Données sur le champ magnétique

Le champ magnétique a été échantillonné 10 fois par seconde à l'aide d'un magnétomètre à vapeur de césumum partagé (sensibilité = 0.005 nT) rigidement fixé à l'avion. Les différences de valeur du champ magnétique aux intersections des lignes de contrôle et des lignes de levé ont été analysées afin d'obtenir un ensemble de données sur le champ magnétique muonique et les intersections des lignes de vol. Ces valeurs étaient ensuite interpolées sur une grille à 100 m. Le champ magnétique international (IGRF) défini à l'altitude moyenne de 510 m pour l'année 2010.6 a été soustrait. La soustraction de l'IGRF, qui représente le champ magnétique du noyau terrestre, fournit une composante résiduelle essentiellement nécessaire à la magnétisation de la croûte terrestre.

La dérivée première verticale du champ magnétique représente le taux moyen de variation du champ magnétique suivant la verticale. Le calcul de la dérivée première verticale supprime les composantes de grande longueur d'onde du champ magnétique et améliore considérablement la résolution des anomalies approchées les unes des autres ou superposées. L'une des propriétés des cartes de la dérivée première verticale est la coïncidence de l'isogame de valeur zéro et des contacts verticaux aux hautes intensités magnétiques (Hood, 1985).

References / Références

Hood, P.J. 1985. Gradient measurements in aeromagnetic surveying. *Geophysics*, v.30, p.891-902.

International Atomic Energy Agency, 1991. Airborne gamma ray spectrometer surveying. Technical Reports Series 323, IAEA, Vienna.

International Atomic Energy Agency, 2003. Guide lines for radioelement mapping using gamma ray spectrometry data. Technical Reports Series 1363, IAEA, Vienna.

PLANIMETRIC SYMBOLS

SYMBOLES PLANIMÉTRIQUES

Drainage	
Highway	
Flight line	

Drainage	
Highway	
Flight line	

NATIONAL TOPOGRAPHIC SYSTEM REFERENCE AND GEOPHYSICAL MAP INDEX SYSTÈME NATIONAL DE RÉFÉRENCE CARTOGRAPHIQUE ET INDEX DES CARTES GÉOPHYSIQUES

